

# Electrotechnique : alimentation et machines

## Partie 1. Alimentations, puissance.

Olivier Gras

olivier.gras@ac-amiens.fr

CPGE PSI / L3 GE<sup>IC</sup>CLEERE

- 1-analyse doc
- des feuilles d'exos
- QCM
- devoir



OBJET DE CE COURS :

Olivier GRAS [Enseignant CPGE PSI, Amiens] [Enseignement UPJV, Amiens]

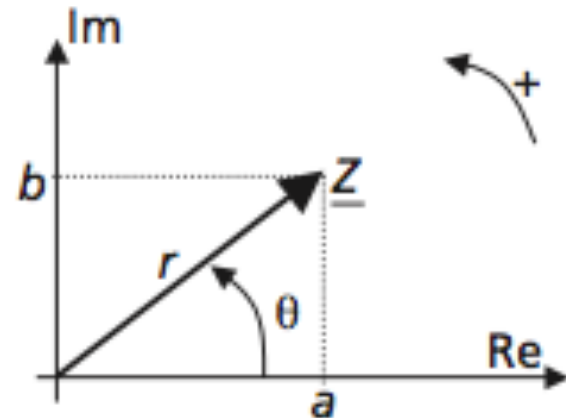
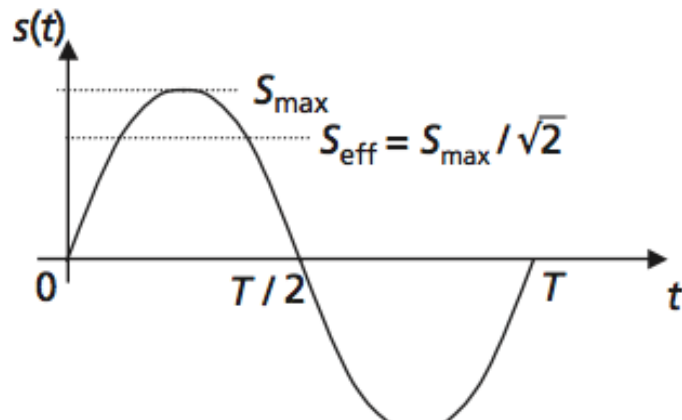
- ① Alimentations d'installations industrielles : sinusoïdale monophasée et triphasée. Puissances. Facteur de puissance.
- ② Transformateurs monophasé et triphasé, cas parfait.
- ③ Etude de différents convertisseurs : hacheur, onduleur, gradateur, redressement monophasé (simple et double alternance).
- ④ Machines tournantes.
- ⑤ Machine asynchrone monophasée et triphasée.
- ⑥ Machines à courant continu. Comprendre et savoir contrôler les systèmes technologiques complexes, moteurs et convertisseurs électriques, systèmes mono et triphasés.
- ⑦ Notions nécessaires à l'Habilitation Electrique.



# 1. Puissance

## 1.1 Notation complexe

### Cas d'une source sinusoïdale



Avec les notations classiques, on peut écrire :

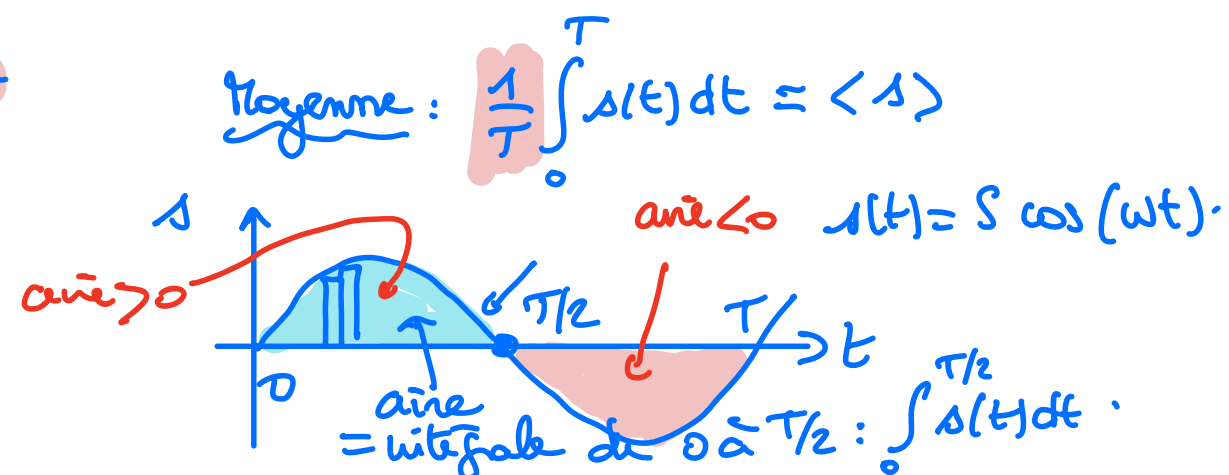
$$s(t) = S_{max} \cos(\omega t + \phi) \text{ avec } S_{eff} = \sqrt{2} \times S_{max}$$

On a accès aux termes : période  $T$ , fréquence  $f = 1/T$ , pulsation  $\omega$ , phase à l'origine temporelle :  $\phi$ , valeur moyenne  $\langle s(t) \rangle$ , valeur efficace.

Pour la notation complexe, on a la représentation de **l'affixe**  $Z$  d'un nombre complexe  $Z = a + j \times b$  avec  $j^2 = -1$

(a) RMS root Mean Square

$$\sqrt{\frac{1}{T} \int_0^T s^2(t) dt}.$$



solide:  $\frac{1}{T} \int_0^T v(t) dt$

aire  $\geq 0$        $v(t)$

aire  $\leq 0$

aire =  $\int_0^T v(t) dt$

on cherche  $\langle v \rangle$  et on sait  $\langle v \rangle = 0$

$$\frac{1}{T} \int_0^T v(t) dt$$

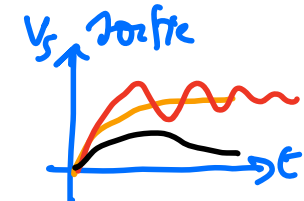
$$\int_0^T v(t) dt = \boxed{B \alpha T} + \boxed{A (1-\alpha) T} \approx \underbrace{B \alpha T}_{< 0} + \underbrace{A (1-\alpha) T}_{> 0}$$

$$D = B \alpha T - |A| T (1-\alpha)$$

$\uparrow$        $\uparrow$   
inconnue       $\tau$  connue

(b) nombres complexes  
représentation simplifiée des tensions

(c) réponses temporelles

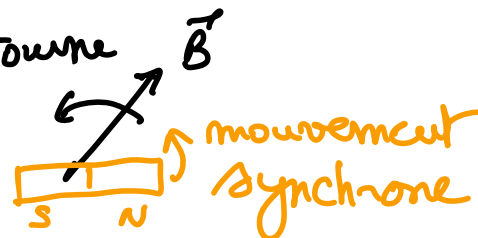


et quelques "interrupteurs":

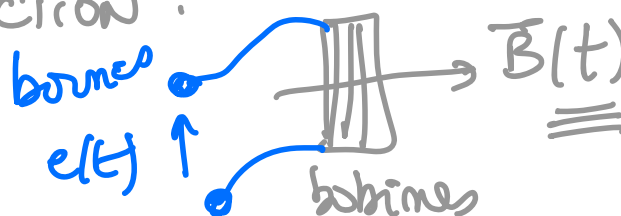


thyristor et transistor.

d)  $\vec{B}$  champ magnétique tourne



e) INDUCTION:



$\vec{B}(t)$  crée  $e(t)$  donc génératrice.

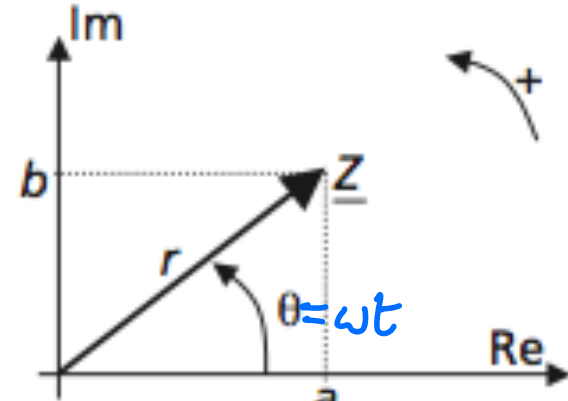
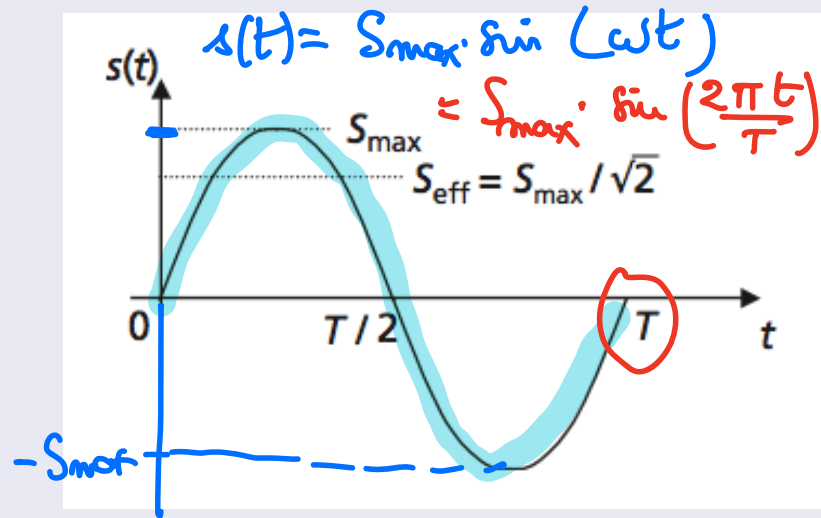
f) étude des milieux mgn  $\rightarrow$  aimants (moteurs élec).  
 $\rightarrow$  enregistrement mgn.

# 1. Puissance

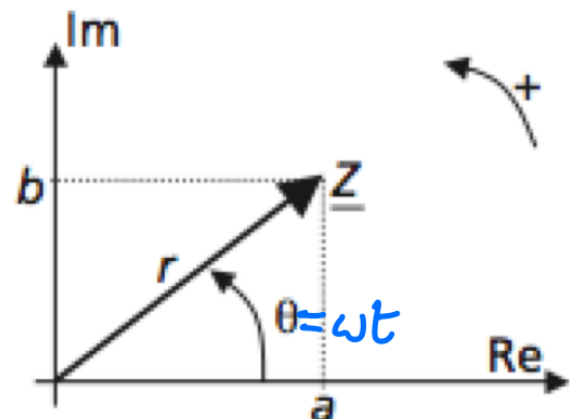
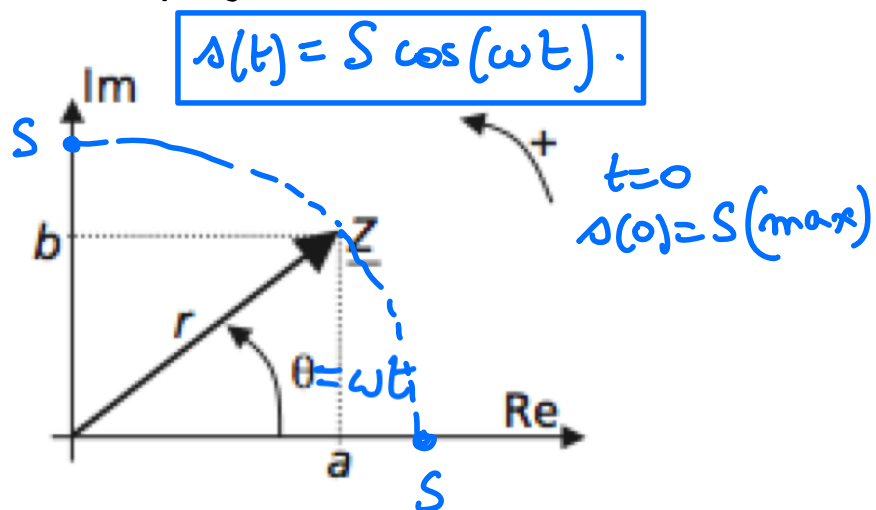
## 1.1 Notation complexe

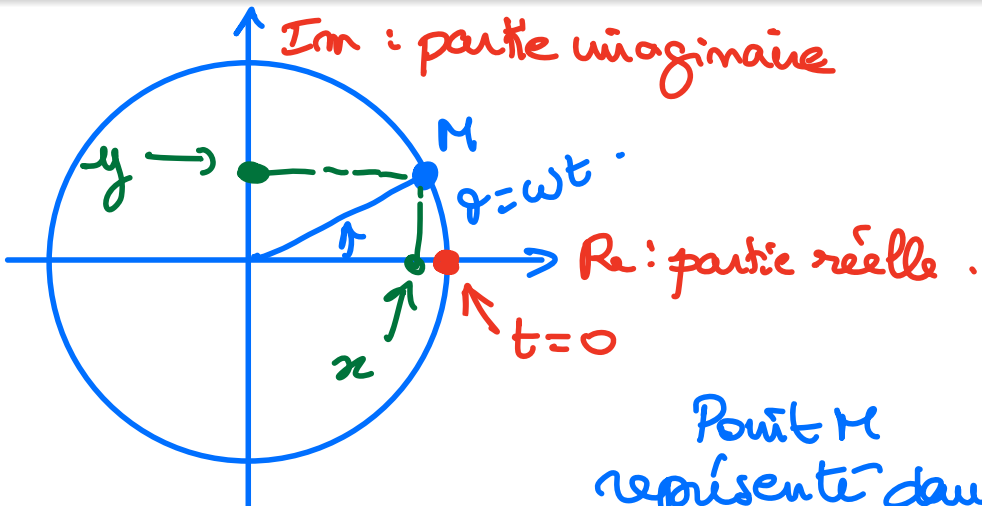
$\omega$  = pulsation en rad. s<sup>-1</sup>  $[\omega] = \text{rad. s}^{-1}$

### Cas d'une source sinusoïdale



On voit qu'une tension pourra être représentée par un complexe et sa **partie réelle** est la projection sur l'axe horizontal.





$$\cos(\theta) \xrightarrow{\text{note}} e^{i\theta} \quad \left\{ i^2 = -1 \right.$$

en physique

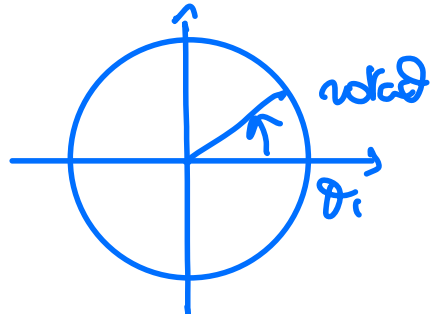
ROIVRE

$$e^{j\theta} \quad \left\{ j^2 = -1 \right.$$

Point M  
représenté dans le  
plan avec comme  
coord.  $(\boxed{\cos\theta}, \sin\theta)$  -

$\stackrel{\parallel}{x}$        $\stackrel{\parallel}{y}$

rotation de  $\theta=0$  à  $\theta_1$



; 2 rotations: on utilise la propriété  
de  $e^n$

$$e^n \times e^m = e^{n+m}$$

donc

$\stackrel{\parallel}{x}$

$\stackrel{\parallel}{y}$

$\theta = \theta_1 + \theta_2$

$[1 \times e^{j\theta_1}] \times e^{j\theta_2}$

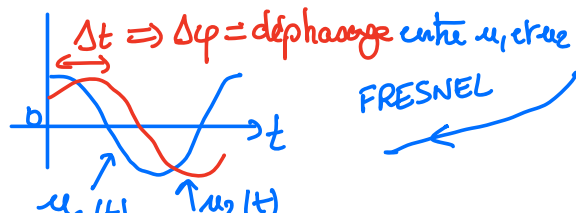
rotat  $\theta_1 + \theta_2$ .

Vocabulaire:

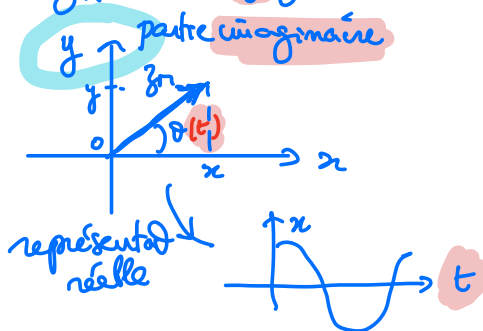
"position" du point M: affixe  $z_M = x + iy$

notat de type planaire

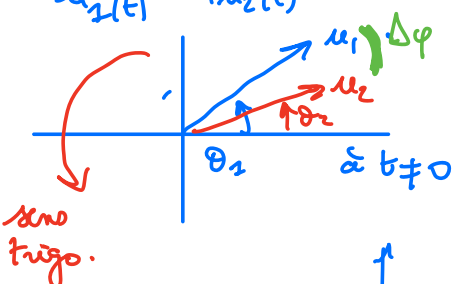
partie imaginaire



FRESNEL

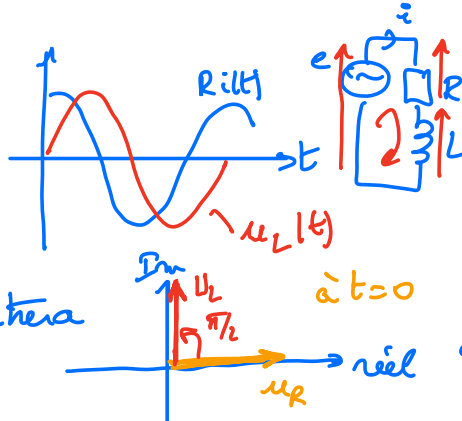


représentat  
néelle



Apposat

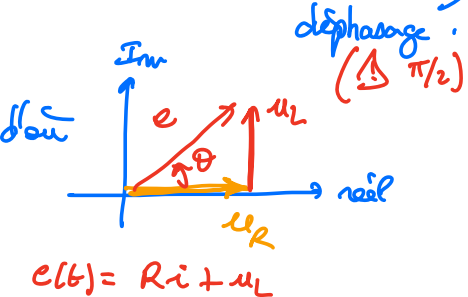
on montrera



origine des phases :  $i(t) \cdot$

$$u_1 = Ri = RI \cos(\omega t) \cdot$$

$$u_2 = u_L = L \frac{di}{dt} = L \cos(\omega t + \frac{\pi}{2})$$



$$e(t) = R i + u_L$$

# 1. Puissance

## 1.1 Notation complexe

Cas d'une source sinusoïdale : valeur moyenne

Valeur moyenne pour le cas réel :  $\langle u(t) \rangle = \frac{1}{T} \int_{t=0}^T u(t) \, dt$

Cas complexe :  $\langle u(t) \rangle =$

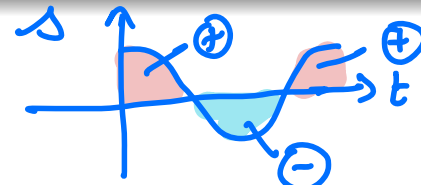
# 1. Puissance

## 1.1 Notation complexe

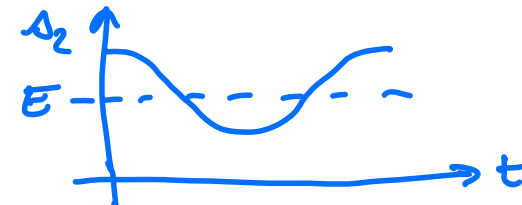
Cas d'une source sinusoïdale : valeur moyenne

Valeur moyenne pour le cas réel :  $\langle u(t) \rangle = \frac{1}{T} \int_{t=0}^T u(t) dt$

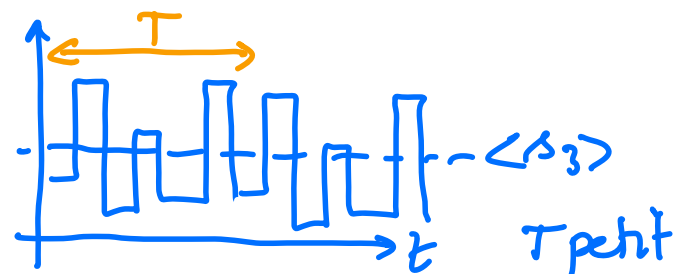
$$\begin{cases} s(t) = S \cos(\omega t) \\ \langle s \rangle = 0 \end{cases}$$



$$s_2(t) = E + S \cos(\omega t) \quad E > 0$$



mais si  $s_3$  est :



$$\begin{aligned} \langle s_3 \rangle &= \langle E + S \cos(\omega t) \rangle \\ &= E + 0 \end{aligned}$$

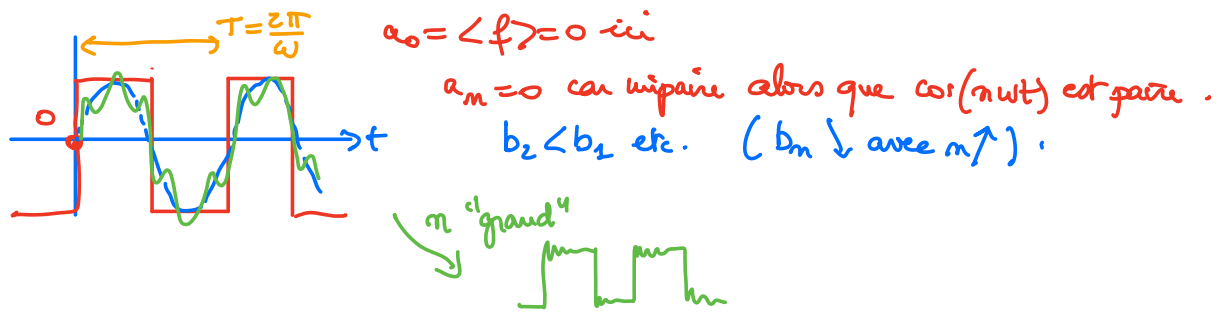
↳ moteur ne "sent" que  $\langle s_3 \rangle$

⚠ comment calculer sans effort  $\langle s \rangle$  ? FOURIER

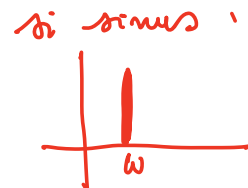
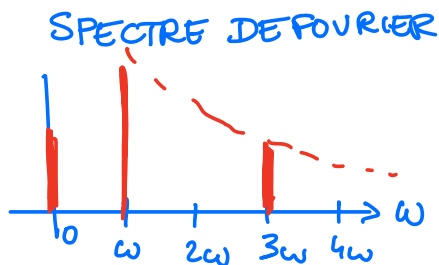
$$f(t) = a_0 + \sum_{n=1}^{\infty} [a_n \cos(n\omega t) + b_n \sin(n\omega t)]$$

(méthode de mesure sur les appareils)

FFT  
Fast Fourier Transform

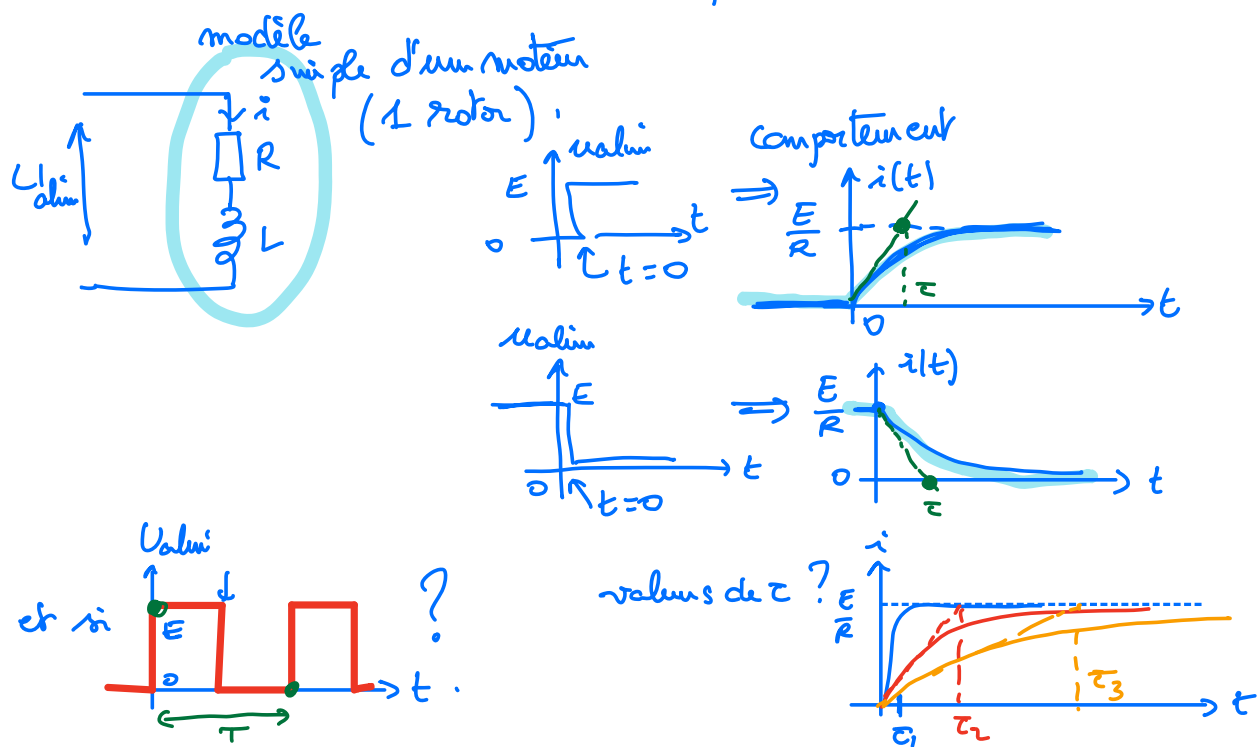


représentation

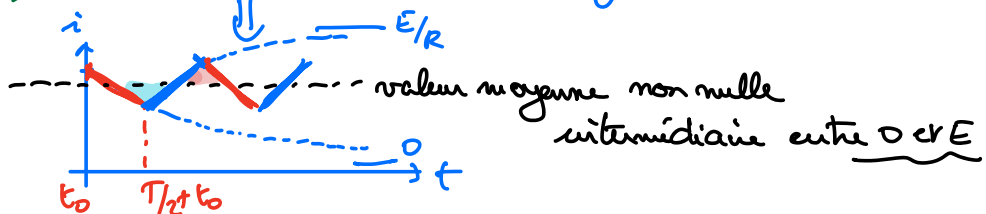


Mardi 11/10

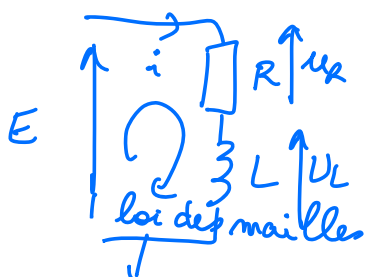
Moteurs élec ?  $\rightarrow$  comment un moteur ( $R +$  bobinage  $L$ ) va réagir à une alimentation ?  
 $\downarrow$   
 variation temporelle de  $i(t)$



Si  $T \ll \tau$  ("petit durant") on "ne laisse pas le temps" à  $i(t)$  pour atteindre sa limite (régime permanent)

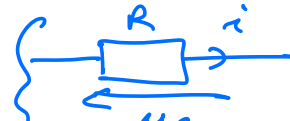


Résolution math



$$\text{Élec} \quad \Delta \quad U_R = R i$$

$$(U_L = L \frac{di}{dt})$$



convention récepteur

$$U_L = 0 \text{ si } [i = \text{cste}]$$

équivalent à un fil de  $R=0$

$$E = R i + L \frac{di}{dt}$$

solv en R.T.?

$$\text{résoudre } ① \quad R i + L \frac{di}{dt} = 0$$

$$\text{solv en R.P.} \quad ② \quad E = R i + \frac{1}{2} L i^2$$

$$\int \frac{di}{i} = \int -\frac{R}{L} dt$$

$$\ln|i| = -\frac{R}{L} t + \text{cste}$$

$$i = i_0 e^{-\frac{Rt}{L} + \text{cste}} = (cste) \times e^{-\frac{Rt}{L}}$$

$$cste = \frac{L}{R}$$

Solution "générale"  $\Rightarrow$  somme de  $i_1$  et  $i_2$

$$i(t) = i_0 e^{-\frac{t}{\tau}} + \frac{E}{R}$$

qui doit vérifier "des" conditions

$t=0$ : on a par exemple  $i(0^-) = 0$  (avant  $t=0$ , le générateur n'est pas connecté et pas de courant).

$$0^- \xrightarrow{\text{ }} 0^+ \xrightarrow{\text{ }} t \quad \text{signifie que } E \ll 1 \Rightarrow \begin{cases} 0^+ = +E \\ 0^- = -E \end{cases}$$

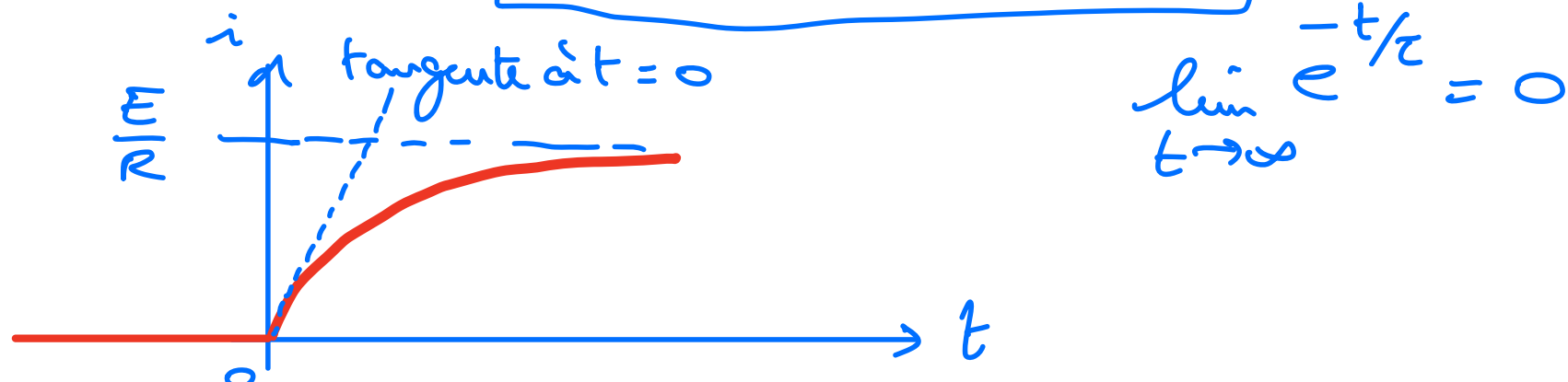
⚠ à retenir Energie est une fonction continue (non discontinue)

$$\Rightarrow E_L = \frac{1}{2} L i^2 \Rightarrow i(t) \text{ continue} \Rightarrow i(0^+) = i(0^-)$$

donc  $i_0$  va être comme car  $i_0 e^{-\frac{0}{\tau}} + \frac{E}{R} = 0$

$$\text{et } e^0 = 1 \Rightarrow i_0 + \frac{E}{R} = 0$$

d'où  $t > 0$  : 
$$i(t) = \frac{E}{R} \left( 1 - e^{-t/\tau} \right).$$



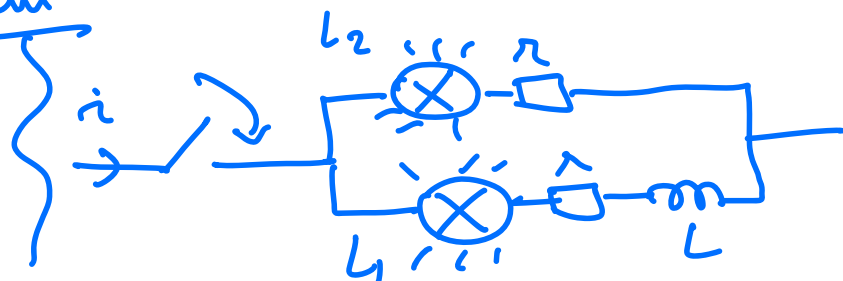
tangente  $\Rightarrow$  dérivée avec  $\frac{d}{dt} e^{at} = a \times e^{at}$

donc  $\frac{di}{dt} = \frac{d}{dt} \left( \frac{E}{R} - \frac{E}{R} e^{-t/\tau} \right) = 0 - \frac{E}{R} \times \left( -\frac{1}{\tau} \right) e^{-t/\tau}$

$$\boxed{\frac{di}{dt} = \frac{E}{R} \times \frac{1}{\tau} e^{-t/\tau} = \frac{E}{R} \times \frac{R}{L} e^{-t/\tau} = \frac{E}{L} e^{-t/\tau}}.$$

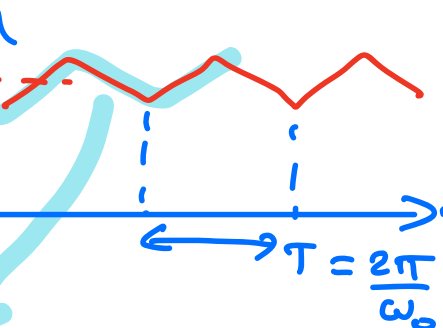
$\hookrightarrow$  à  $t=0^+$   $\Rightarrow \frac{di}{dt} = \frac{E}{L} \times e^0$  donc la pente augmente si  $L \downarrow$

Rem



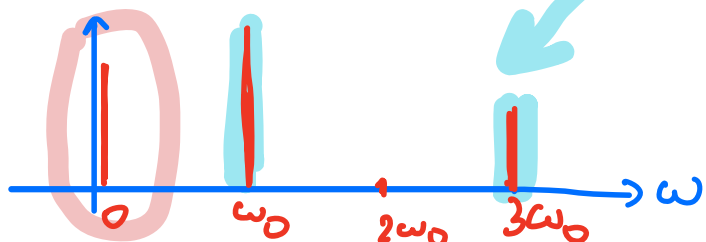
$L_2$  s'allume plus avant  $L_1$ .

Une fois un signal  $i(t)$  n'avoit que la valeur

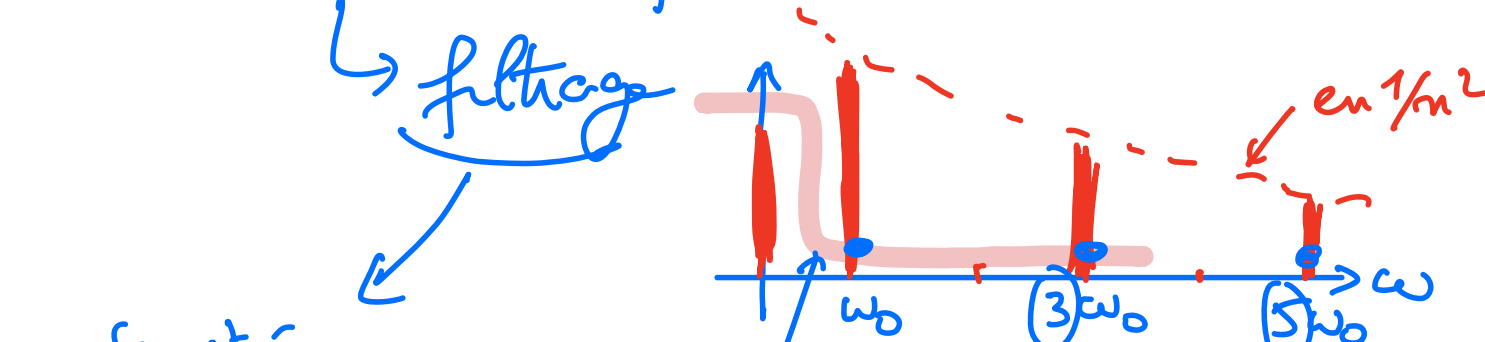


obtenue, comment moyenne ?

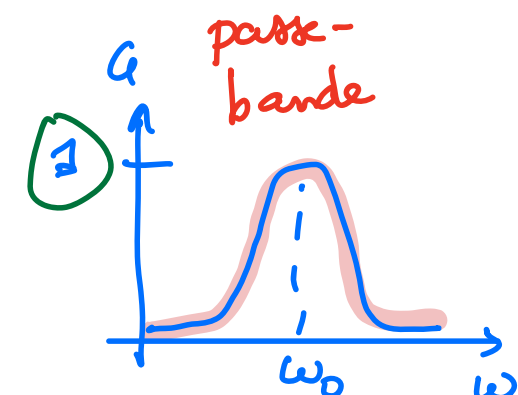
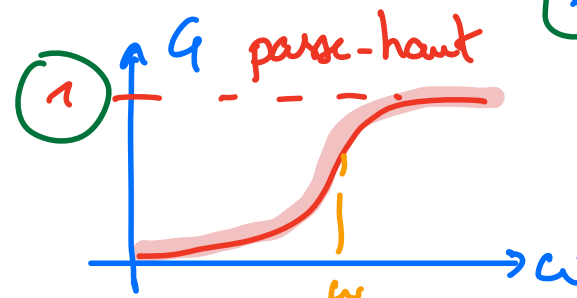
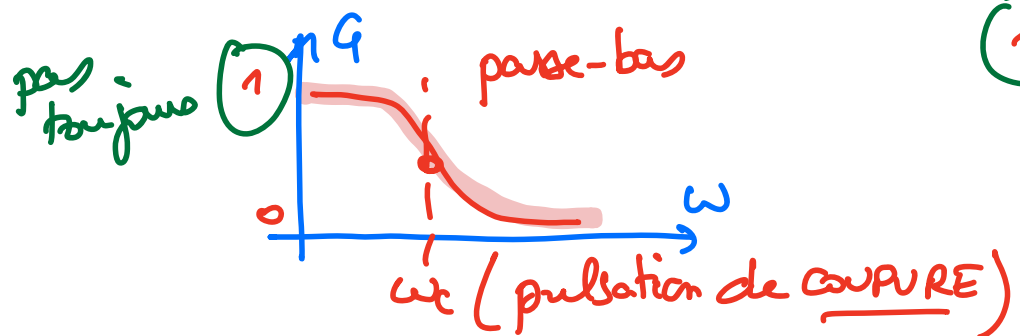
↪ FOURIER



Comment obtenir le pic en  $\omega=0$  seul?



nécessite  
d'étudier des  
associés  $R, L, C$

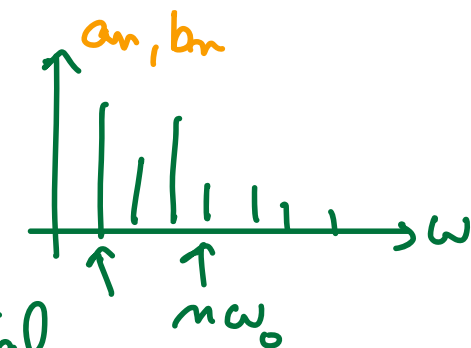


$$f(t) = a_0 + \sum_{n=1}^{\infty} (a_n \cos(n\omega_0 t) + b_n \sin(n\omega_0 t)) \Rightarrow$$

avec 1 pic

$\omega_0$   $\omega$

signal sinusoïdal



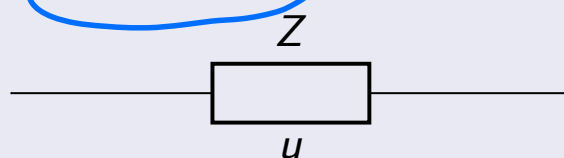
# 1. Puissance

## 1.2 Cas des dipôles classiques

But: expliquer le fonctionnement des filtres

relation avec  $j\omega$

Notion d'impédance



$$u = Z \times i \quad \text{Résistance } Z = R$$

$$\text{condensateur } Z = Z_c = \frac{1}{jC\omega},$$

$$\bullet \text{ bobine } Z = Z_L = jL\omega$$

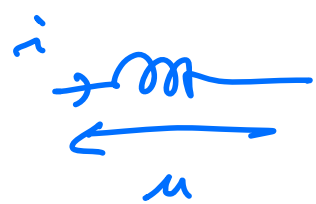
Pour chacun de ces dipôles, on peut tracer une représentation graphique dans le plan complexe

$$\begin{array}{c} \xleftarrow{u} \\ \xrightarrow{i} \\ \left. \right\} \end{array} \quad Z_c = \frac{1}{jC\omega}$$

$$\begin{array}{c} \xleftarrow{u} \\ \xrightarrow{i} \\ \left. \right\} \end{array} \quad Z_L = jL\omega$$

$$\begin{array}{c} \xleftarrow{u} \\ \xrightarrow{i} \\ \left. \right\} \end{array} \quad Z_R = R$$

$$\text{loi d'ohm } U = Z i$$



$$u = L \frac{di}{dt} \text{ mais } i = i_0 \cos(\omega t)$$

s'écrit en notations complexes

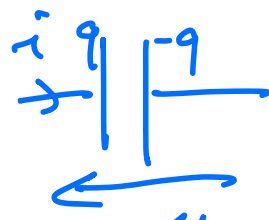
$$i = i_0 e^{j\omega t} \text{ avec } j^2 = -1$$

$$\hookrightarrow \frac{di}{dt} = i_0 \times j\omega \times e^{j\omega t}$$

$$\hookrightarrow u = i_0 L j\omega e^{j\omega t}$$

$$\Rightarrow u = [jL\omega]i$$

↑  $z$  (impédance)



$$u = \frac{q}{C} \text{ avec } i = \frac{dq}{dt} \text{ avec } q(t) = q_0 e^{j\omega t}$$

$$\hookrightarrow \frac{dq}{dt} = q_0 j\omega e^{j\omega t}$$

$$\Delta \int e^{at} dt = \frac{1}{a} e^{at} \Rightarrow q = \int i_0 e^{j\omega t} dt = \frac{i_0}{j\omega} e^{j\omega t}$$

$$= \frac{1}{j\omega} \cdot i$$

$$\hookrightarrow u = \frac{1}{C} \int i dt = \frac{1}{jC\omega} i$$

↑  $z$

Intérêt ?  $\rightarrow$  comportement fréquentiel des dipôles.



FILTRES



$$Z = jL\omega$$

$$u = Z i$$

$$u = |Z| i$$

↑ module

donc

$$u = L\omega \cdot i$$

donc  $\omega \rightarrow 0$  (continu)

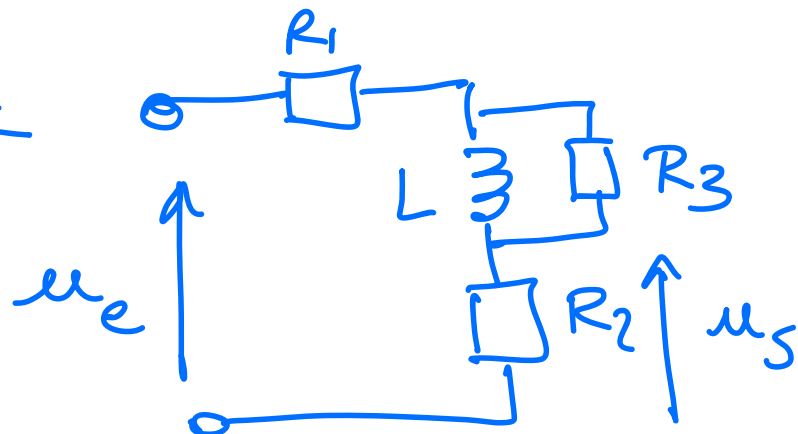
$$\Rightarrow \begin{cases} u \rightarrow 0 \\ i \neq 0 \end{cases}$$

$$\begin{cases} Z = a + jb \\ |Z| = \sqrt{a^2 + b^2} \end{cases}$$

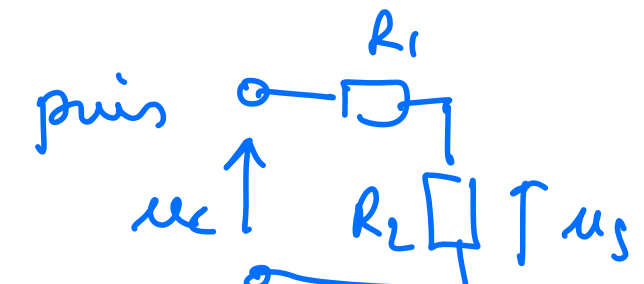
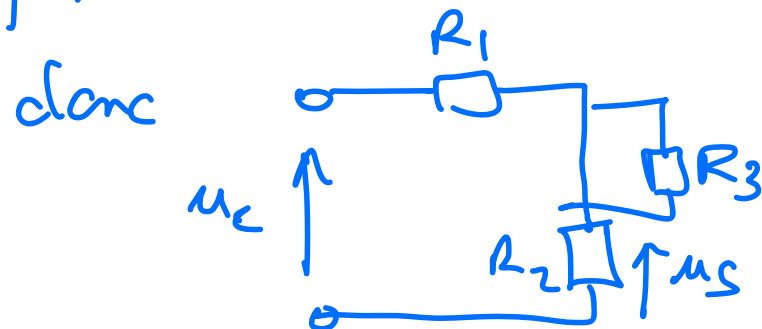
donc  $\begin{cases} \text{(basse fréq)} \\ \omega \rightarrow 0 \Rightarrow \text{---} \text{m} \text{ équiv à } \text{---} \text{ fil} \end{cases}$

$\begin{cases} \text{(haut fréq)} \\ \omega \rightarrow \infty : i = \frac{u}{L\omega} \rightarrow 0 \Rightarrow \text{---} \text{m} \text{ équiv à } \text{---} \text{ } \end{cases}$

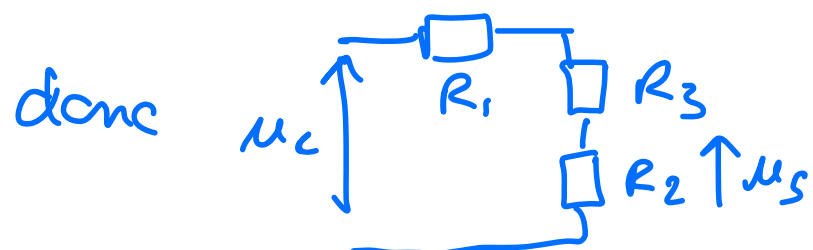
Exemple



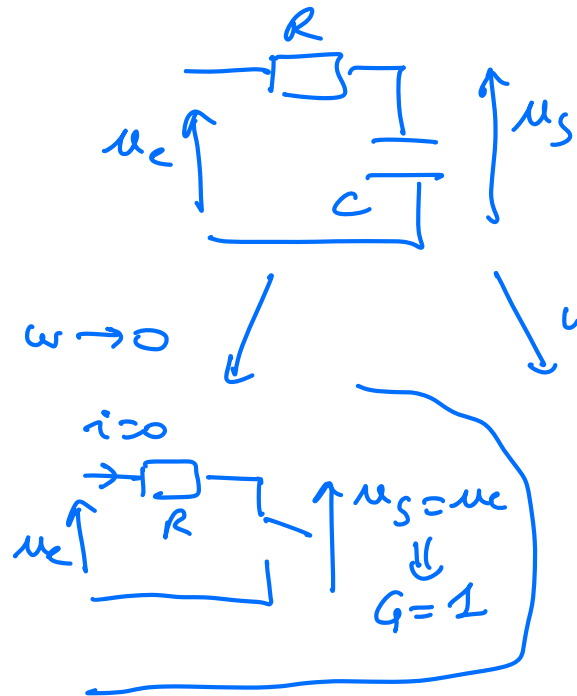
à basse fréq,  $\omega \rightarrow 0$  donc  $\text{---} \equiv \text{---}$



à hte fréq:  $\omega \rightarrow \infty$   $\text{---} \equiv \text{---}$



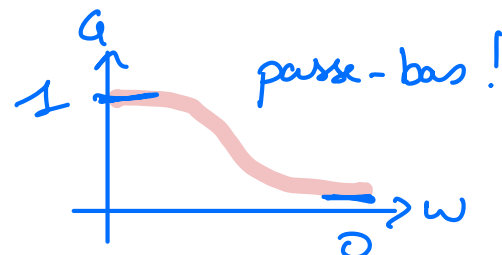
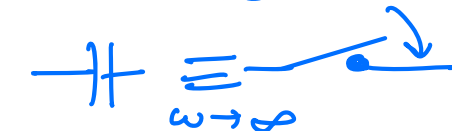
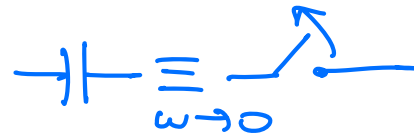
## Exemple d'un filtre RC



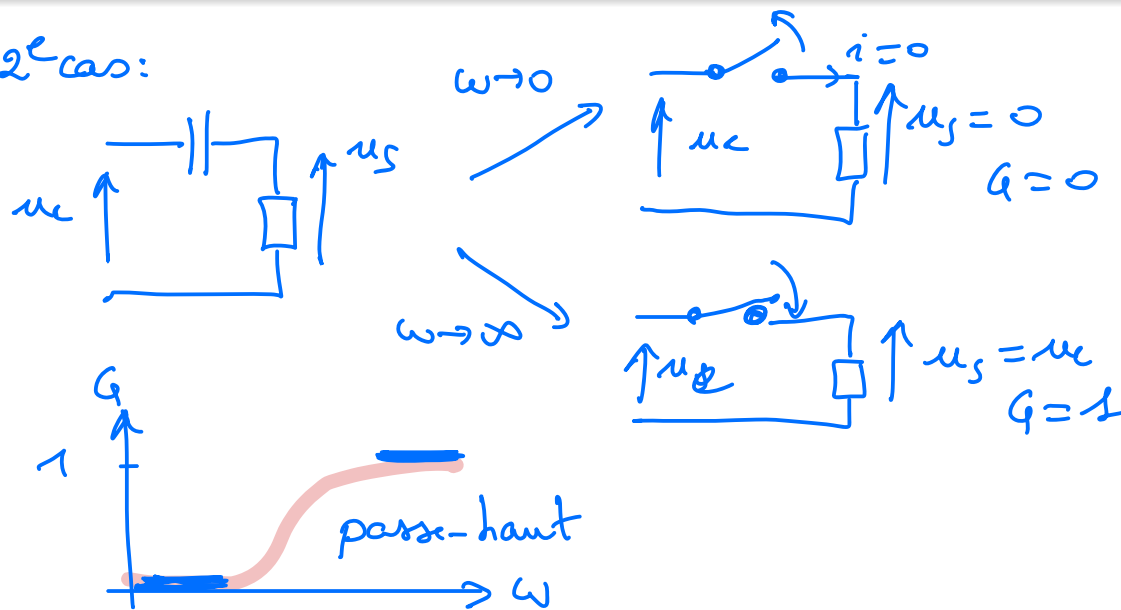
$$H = \frac{u_s}{u_c} \quad \text{complexe}$$

$$Z_C = \frac{1}{j\omega C}$$

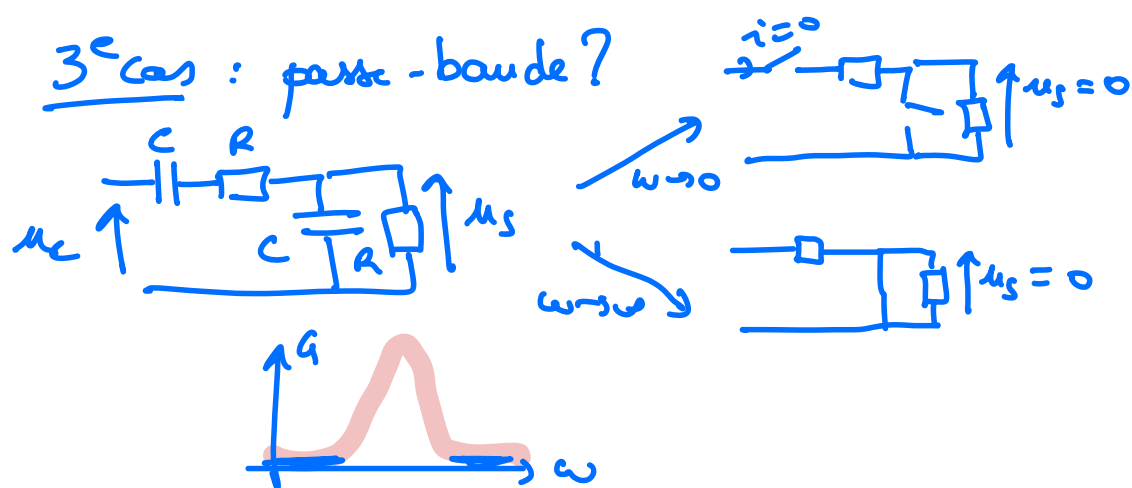
$$G = |H| \text{ en réel.}$$



2<sup>e</sup> cas:



3<sup>e</sup> cas : passe-bande ?



Autre passe-bande :

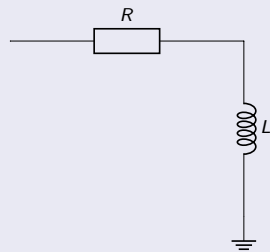


# 1. Puissance

## 1.3 Association de dipôles linéaires

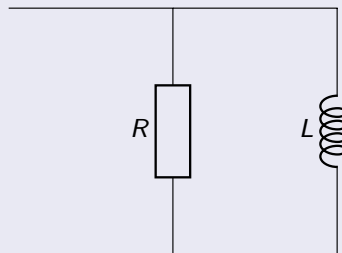
Représentation graphique dans le plan complexe

Exemple d'association : exercice



$$u = Z_{tot} \times i$$

Exemple d'association



$$u = Z'_{tot} \times i$$

# 1. Puissance

## 1.4 Définitions pour "la" puissance

On utilise la notation

$$u(t) = U\sqrt{2} \cos(\omega t) \text{ et } i(t) = I\sqrt{2} \cos(\omega t - \phi)$$

### Définitions

**Puissance instantanée** :  $P(t) = u(t) \times i(t)$  en réel en watt

**Puissance active** :  $P = \langle p(t) \rangle = U \times I \times \cos \phi = \frac{U_{max} \times I_{max}}{2} \times \cos \phi$  en watt

**Puissance réactive** :  $Q = U \times I \times \sin \phi = \frac{U_{max} \times I_{max}}{2} \times \sin \phi$  en VA.R

**Puissance apparente** :  $S = U \times I$  en VA

**Facteur de puissance** : c'est le terme  $\cos \phi$

On a  $S^2 = P^2 + Q^2$

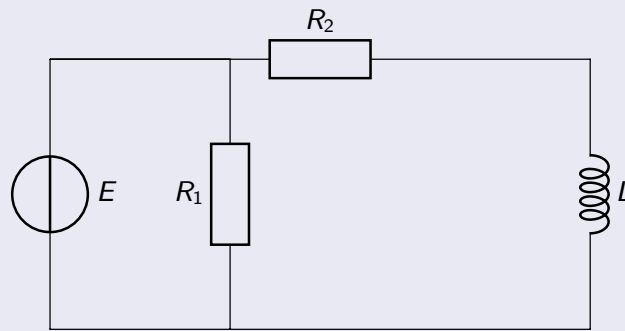
$$\cos \phi = \frac{P}{S}$$

$$\tan \phi = \frac{Q}{P}$$

# 1. Puissance

## 1.4 Définitions pour "la" puissance

### Exemple : exercice

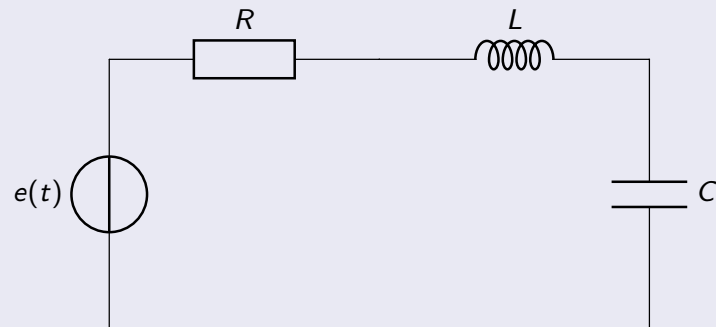


- ① calculer les valeurs efficaces des courants
- ② calculer  $P$ ,  $Q$  et  $S$
- ③ en déduire le facteur de puissance

# 1. Puissance

## 1.5 Diagramme de FRESNEL

### Tracé du diagramme dans le plan complexe : exercice

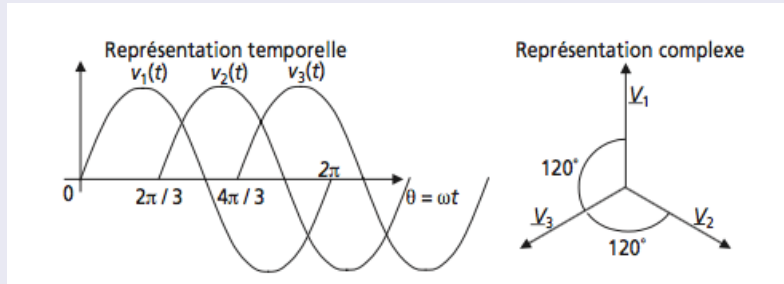


- ① exprimer les tensions
- ② tracer les vecteurs tensions dans le plan complexe avec  $e(t)$  comme origine des phases
- ③ idem avec  $i(t)$  comme origine des phases
- ④ en déduire le facteur de puissance

# 1. Puissance

## 1.6 Cas d'une alimentation TRIPHASÉE

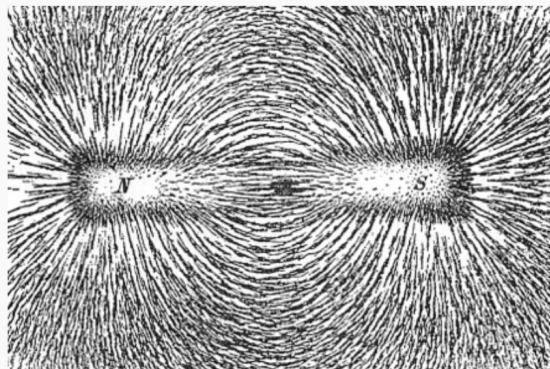
### Forme de l'alimentation



$$v_1(t) = V\sqrt{2} \sin(\omega t)$$
$$v_2(t) = V\sqrt{2} \sin(\omega t - \frac{2}{3})$$
$$v_3(t) = V\sqrt{2} \sin(\omega t - \frac{4}{3})$$

- Couplage en étoile
- Couplage en triangle

# Champ magnétique



Visualisation du champ magnétique créé par un aimant droit.

Unités SI

Tesla (T)

Autres unités

Gauss (G), oersted (Oe)

Dimension

$M \cdot T^{-2} \cdot I^{-1}$

Base SI

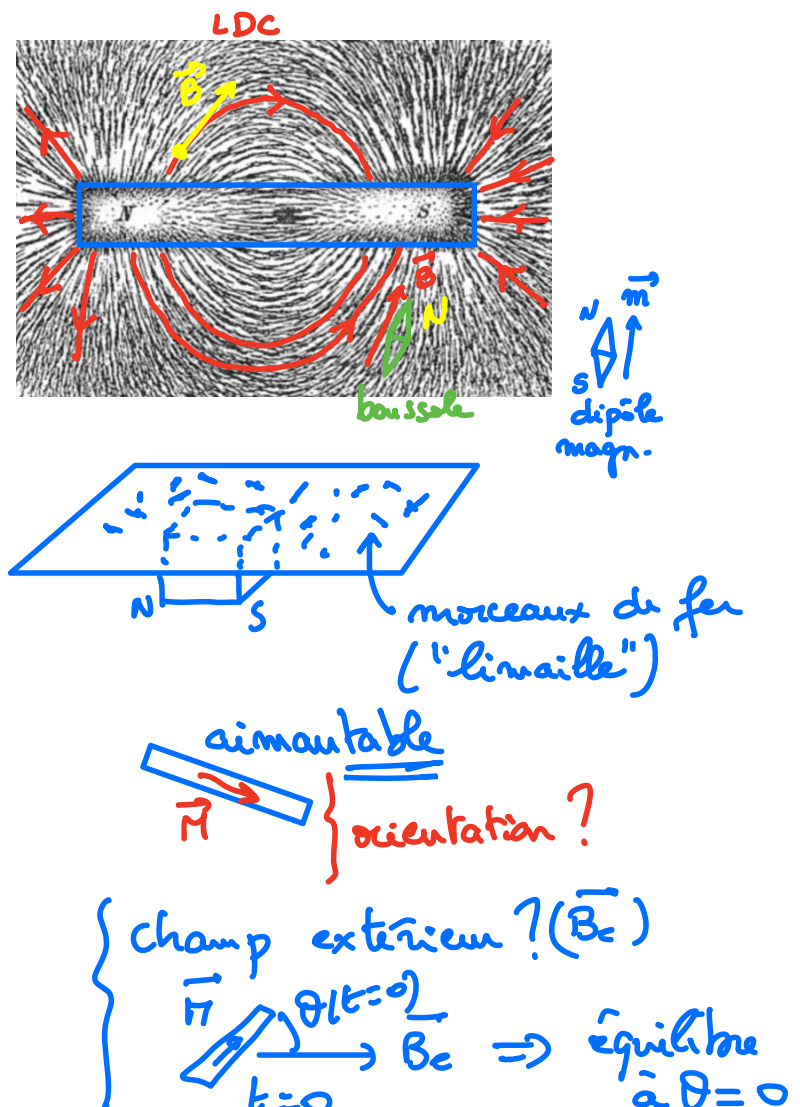
$kg \cdot s^{-2} \cdot A^{-1}$

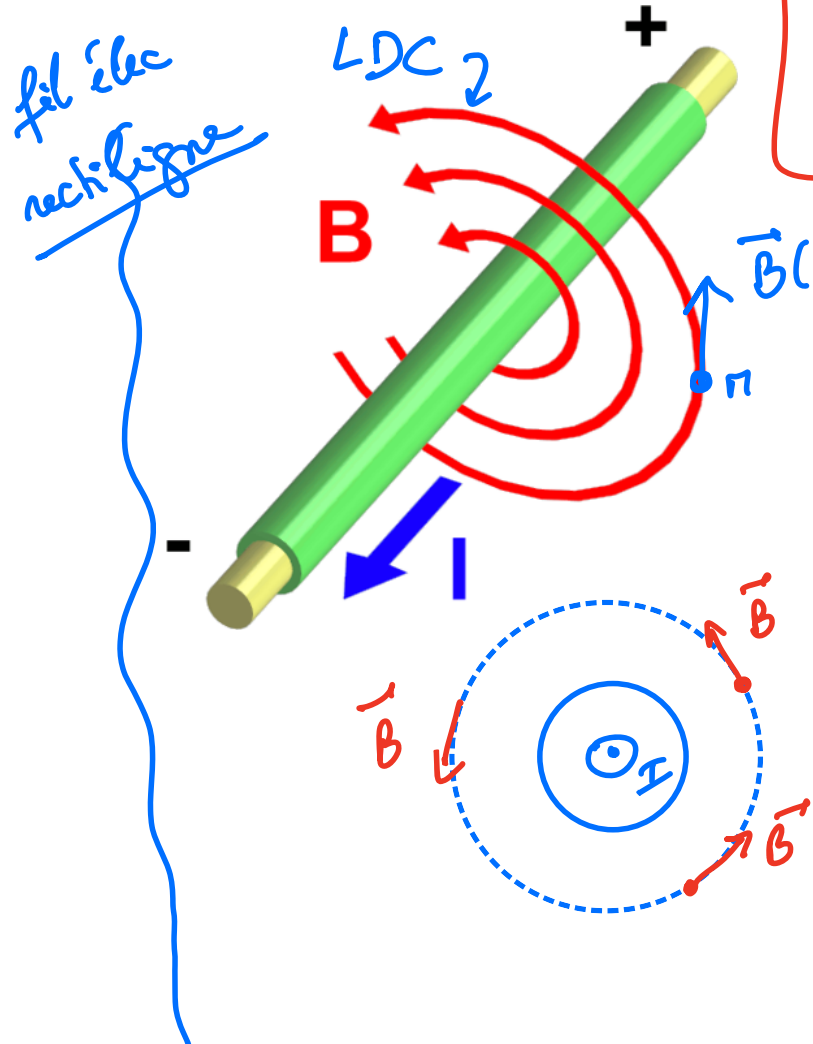
Nature

Grandeur vectorielle  
(pseudovecteur) intensive

Symbolusuel

$B, \vec{B}$





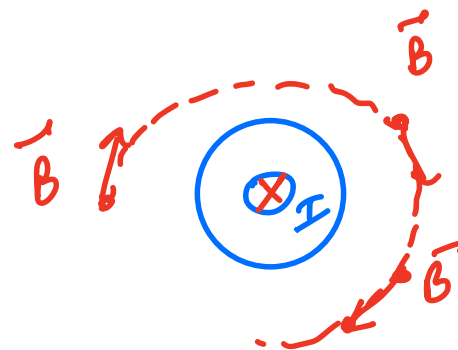
source de  $\vec{B}$  ?

1er cas un courant  $i = \text{cte}$  ou  $i$  variable ( $i(t)$ ) créé un  $\vec{B}$  (loi de Biot et Savart).

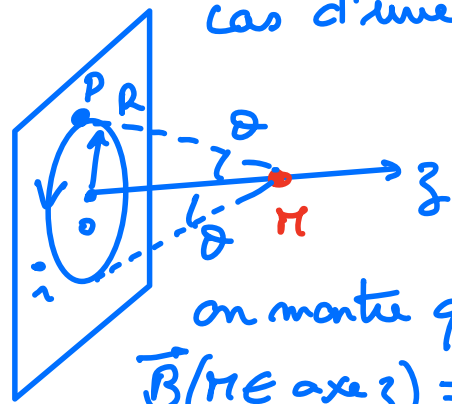
$$\vec{d\mathcal{B}} = \frac{\mu_0}{4\pi} \frac{id\vec{l} \wedge \vec{u}}{r^2}$$

A diagram showing a point  $P$  on a horizontal red line. A blue vector  $i$  is shown at the top left, and a blue vector  $d\vec{l}$  is shown below it, both originating from the same point. A red vector  $r$  connects point  $P$  to the tip of the  $d\vec{l}$  vector. To the right, there is a red circle with a dot and a red vector  $\vec{r}$  pointing towards it, with the text  $d\vec{B} =$  written above it.

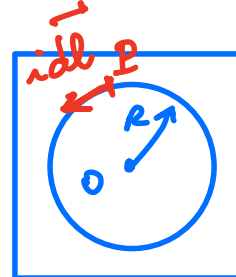
$$\text{Circuit: } \vec{B}(n) = \int d\vec{B}.$$



Spine ?



cas d'une spine circulaire de rayon R

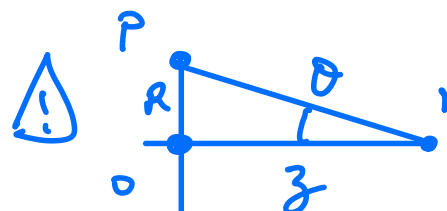


$$\vec{B}(n \in \text{axe } z) = (B) \mu_0 \vec{u}_z$$

amplitude ?

$$[dB] = \left[ \frac{\mu_0 i d\vec{B} \cdot \vec{u}}{4\pi r^2} \right]$$

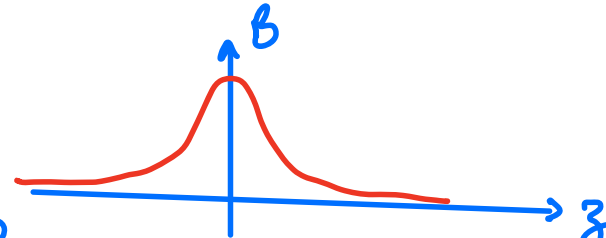
dimension  $\rightarrow [B] = \left[ \frac{\mu_0 i}{L} \right]$



$$\sin \theta = \frac{R}{\sqrt{R^2 + z^2}} \Rightarrow B(n \in \text{axe}) = \frac{\mu_0 i}{2} \frac{R^2}{(R^2 + z^2)^{3/2}}$$

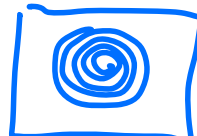
$$B(z=0) = \frac{\mu_0 i}{2} \frac{R^2}{R^3} = \frac{\mu_0 i}{2R} = B_0$$

$$z \rightarrow \infty : B(n \in \text{axe}) \approx \frac{\mu_0 i}{2} \frac{R^2}{z^3} \xrightarrow{z \rightarrow \infty} 0$$



Bobines

\* plats



(spirole)

$\rightarrow$  modélisé par

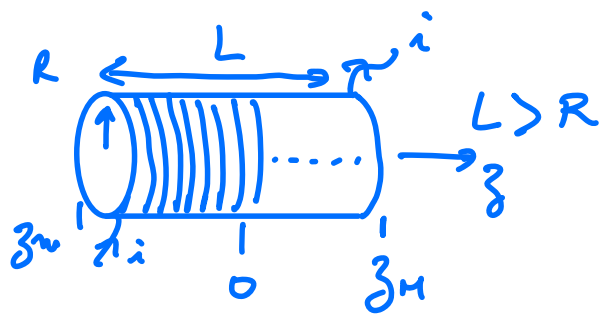


N spires

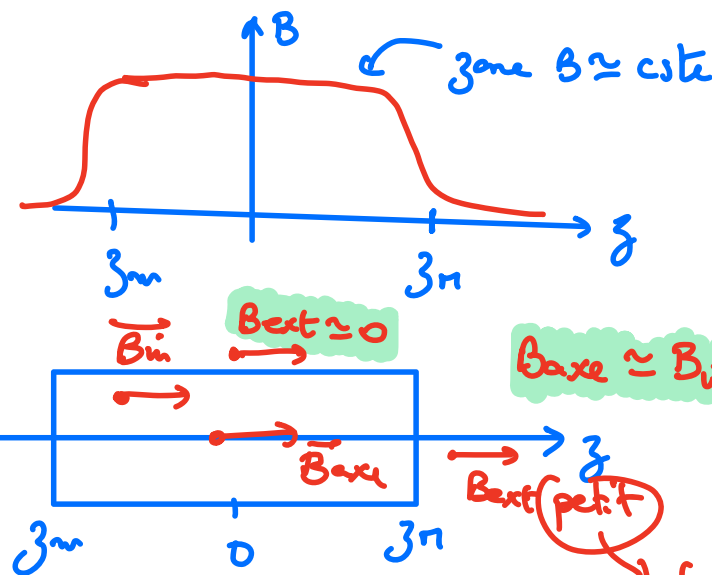
\* solénoides



long voie infini.

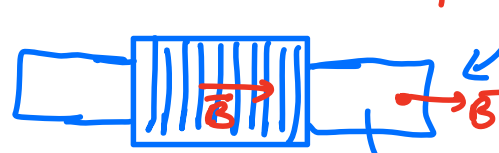


et en plus



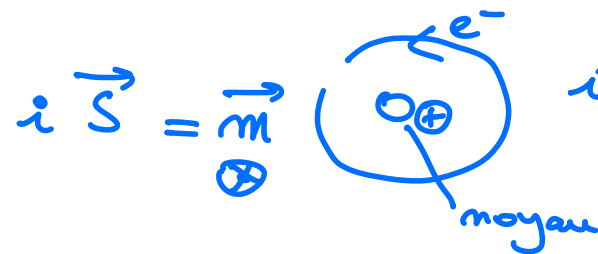
→ cf simulations avec FEMM.

donc une bobine va peu influencer un dipôle magn (rotor)

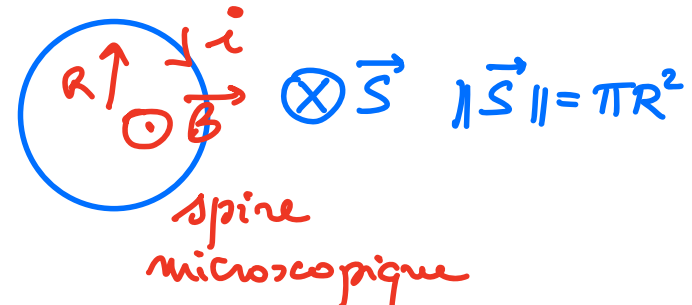


matériau magn va guider le  $B$  produit sans changer la norme.  
(pour l'avenue au plus proche du rotor).

Source n°2 de  $\vec{B}$  ? Matière  $\Rightarrow$  "aimant permanent".



idem:



Matière disordonnée  $\Rightarrow$  somme des  $\vec{B}$   $\approx \vec{0}$   
( $\vec{B}$  à toutes les directions)

mais pour certains matériaux, les interactions avec les dipôles  $\vec{m}$  atomiques vont donner:  $\vec{f}_1, \vec{f}_2, \vec{f}_3, \dots$

donc  $\sum \vec{m} \neq \vec{0} \Rightarrow \vec{M} \neq \vec{0}$   
aimantation







